

V-10 押し板によるモルタル層板の弾塑性解析

日大理工学部 正員 色部 譲
准員 享一

1. まえがき ええ、モルタルやコンクリートは非線形材料であって、明瞭な降伏点をもたない。したがって、これらの材料の弾性限界に対する定義があいまいであって、研究者によってまちまちである。本報告はモルタル層板の押しがによる弾塑性解析を有限要素法によって行なった研究の一端であって、こゝには、解析に当て基本となる材料の破壊曲面および降伏曲面の定義を示す。ひつ、計算結果および実験との比較についても講演会の際に発表する。

2. 破壊曲面と降伏曲面 Nadai の破壊説では降伏曲面は次式で定義される。

$$F(\sigma_0, \tau_0) = 0 \quad (1)$$

ここで、 σ_0 は静水圧応力であり、 τ_0 は八面体せん断応力である。これらは、 I_1, I_2 を応力の一次不偏量、二次不偏量とすれば、

$$\sigma_0 = \frac{1}{3} I_1, \quad \tau_0^2 = \frac{1}{9} (2I_1^2 - 6I_2) \quad (2)$$

である。式(1)のもととする单純な形は

$$a\sigma_0 + b\tau_0 = 0 \quad (3)$$

である。これは主応力空間内の平面に適用された Mohr-Coulomb の式といふことができる。式(3)の曲面は、Fig-1 に示す静水圧軸を回転軸とする椎面となるが、モルタルやコンクリートの破壊曲面と偏差平面との交りは正三角形に近い凸曲線となるという結論が多くて実験から導かれている。J. H. Argyris らは、この結論をみる程度満足するものとして、コンクリートの破壊曲面に

$$a\sigma_0 + (b - c \cos 3\theta) \tau_0 = 0 \quad (4)$$

を提案している。ここで、 θ とは偏差平面上の応力成分で、 θ の方向をあらわす角度で、0 から 180° のあたりの値をもつ。一例を Fig-2 に示す。式(4)は、 I_3 を応力の三重不偏量とすれば、 $\cos 3\theta$ が式(5)で与えられるので、破壊曲面としてすべての応力不偏量を含む一般的表示の一つである。

$$\cos 3\theta = \sqrt{2} \frac{I_3 - I_2 \sigma_0 + 2\sigma_0^3}{\tau_0^3} \quad (5)$$

しかしながら、式(4)では 3 つの実験点によつてパラメータ a, b, c の決定が可能であるので、実験結果に対して、平面的に近似が得られるにすぎない。この欠点はつきの多パラメータ式によれば除かれること。

$$a\sigma_0 + \left\{ b + \sum_n (c_n \cos 3n\theta + d_n \sin 3n\theta) \right\} \tau_0 = 0 \quad (6)$$

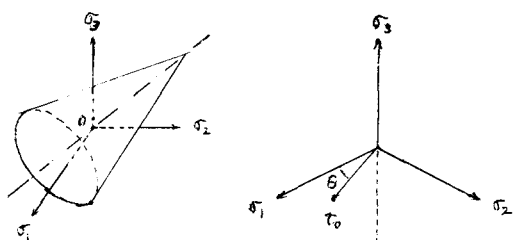


Fig-1

参考：丹羽・小林；高田・秋本・川本（行）
モルタルの破壊実験では、破壊曲面は式(6)のように σ_0, τ_0 に関する一次式ではあらず得ない結果が得られている。しかししながら、式(6)を弾塑性解析上の基準とするならば、式中のパラメータ決定の際の実験点を主応力空間内原点より分離して点にすれば、危険側の解釈は間違っている。

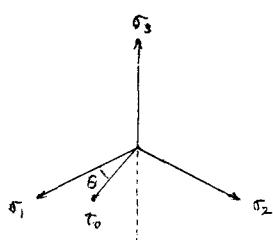


Fig-2

以上のまゝにして、 $\sigma_1 \leq 0, \sigma_2 \leq 0, \sigma_3 \leq 0$ の圧縮領域での破壊曲面を得ることが出来る。また、その中の実験例は数多いが、引張応力を含む応力領域での破壊実験の例べ少く、破壊曲面の全形状を得るには、今後の研究にまつてこころ大である。一つの参考例として、二軸応力状態ではあるが、コンクリートについて行なった H.B. Kupfer⁴ らの実験である。それによれば、 $\sigma_1 > 0, \sigma_2 = 0, \sigma_3 < 0$ のとき、一軸圧縮強度を σ_c とすれば、一軸引張強度 σ_t に対して破壊曲線は円錐 $(\sigma_1/\sigma_t)^2 + (\sigma_3/\sigma_t)^2 = 1$ に近い。 σ_2 が大きくなるにしたがい、 $\sigma_1/\sigma_t + \sigma_3/\sigma_t = 1$ の直線に近づく。すな、 $\sigma_1 > 0, \sigma_2 > 0, \sigma_3 = 0$ のときには、破壊曲線は σ_2 に平行な直線 $\sigma_1 = \sigma_t$ によって完全に近似し得る。

モルタルについては、引張応力を含む応力領域では、(7)は二軸に近いものである。そこで、等方引張のときの破壊応力を $\sigma_1 = \sigma_2 = \sigma_3 = \sigma_{\pm}$ としても決して不自然ではない。よって、3引張領域の破壊曲面を $\sigma_1 = \sigma_2 = \sigma_3 = \sigma_{\pm}$ を頂点とする錐面とし、その母線は圧縮領域の破壊曲面と座標面 $\sigma_1 = 0, \sigma_2 = 0, \sigma_3 = 0$ との交りを通る直線とするば、必ずしも非理的ではない。

丹羽・小林のモルタル実験の結果を参考にし、Table-1 に示す破壊時の応力からパラメータ a, b, c_1, d_1, d_2 を定め、得られた破壊曲面の一・二の断面を示せば、Fig-3, 4, 5 のとおりである。

応力状態	σ_1	σ_2	σ_3
一軸圧縮	0	0	σ_c
二軸圧縮	0	$1.14\sigma_c$	$1.14\sigma_c$
"	0	0.75	1.21
"	0	0.5	1.18
三軸圧縮	$0.33\sigma_c$	2.22	2.22

Table-1

モルタルの降伏は、コンクリートにまつて採用している仮定と同様、 $\sigma_3 < \sigma_2 < 0, \sigma_1 \leq 0$ の応力領域にのみ起るものとし、降伏曲面は破壊曲面に相似であるとする。相似比を α とすれば、降伏曲面は次式によつて表される。

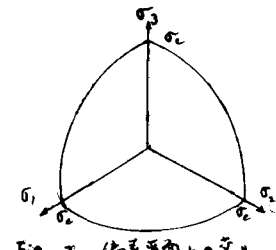


Fig-3 偏差平面との交り

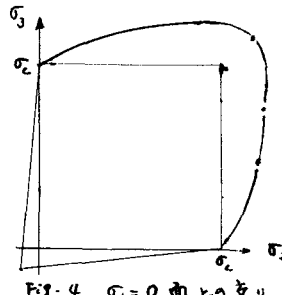


Fig-4 $\sigma_1 = 0$ 面との交り

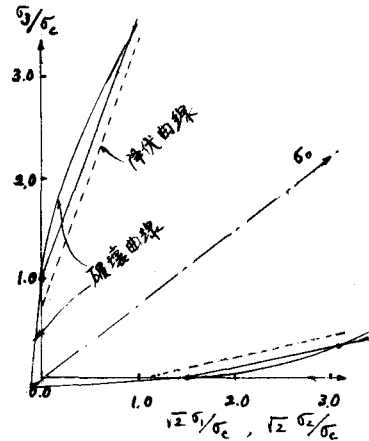


Fig-5 Rendulic断面

Fig-5 にその断面を示す。

3. 解析上の主要な仮定。ひび割れを考慮したモルタルの塑性解析を行なうに際し、設けた主要な仮定はつぎのとおりである。(i)一軸圧縮試験にて得られる応力-ひずみ曲線を $\alpha\sigma_c$ の点に折点と有する bilinear における。モルタルの弾塑性挙動はこの折線にしたがうものとする。(ii)降伏によつて主応力軸と θ の傾きを持ち方向、せん断応力、伝達は弱まり、応力伝達のうえで異方性を生じるものとする。(iii)せん性破壊によつて応力 σ_1 は解放され、以後その方向への引張応力の伝達はあり得ないものとする。

1. Argyris, J.H. et al.; Nucl. Engng and Design 28 (1974).

2. Niwa, Y., Kobayashi, S.; Memoirs Fac. Engng, Kyoto Univ. XXIX.

3. 富田和政、秋本昌胤、川本勝万; 工学会論文報告集 175, (1970).

4. Kupfer, H. et al.; ASCE 99 EM 4, 1973